

УДК 537.228.5

ЭФФЕКТ ШТАРКА В ПЛЕНКАХ ТЕТРАЦЕНА И ПЕРИЛЕНА

Л. М. Блинов и Н. А. Кириченко

Из измерений электропоглощения (эффекта Штарка) насыщенных в вакууме пленок молекулярных кристаллов тетрацена и перилена в области первого синглетного перехода сделаны оценки поляризуемостей трех возбужденных электронно-колебательных состояний молекулы тетрацена и двух электронно-колебательных состояний молекулы перилена. В случае перилена обнаружены особенности в спектрах эффекта Штарка, которые выявляют межмолекулярные оптические переходы в ионные и полярные состояния кристалла перилена (составления с переносом заряда).

В нашей предыдущей работе [1] рассмотрены особенности воздействия электрического поля на молекулярные кристаллы. Острые максимумы электропоглощения Эффекта Штарка ряда органических полупроводников с молекулами сложной формы мы интерпретировали на основе представлений о расщеплении в электрическом поле полос поглощения, соответствующих оптическим переходам с образованием полярных экситонов с переносом заряда (аналог экситонов Ванье в ковалентных кристаллах). В работе [2] методом электроотражения подобные же переходы обнаружены в кристаллах 9,10-хлорантрацена. Ввиду важности ионных и полярных состояний в процессах генерации и рекомбинации зарядов и переноса энергии возбуждения в молекулярных кристаллах мы сделали попытку исследования методом штарковской спектроскопии энергетического спектра пленок сравнительно хорошо изученных кристаллов тетрацена и перилена.

Выбор этих объектов был продиктован следующими причинами: с одной стороны, это простые, чисто ароматические соединения (формулы см. на рис. 1 и 3) с известной кристаллографической структурой, образующие при вакуумном напылении оптически гладкие пленки; с другой стороны, в структурном отношении кристаллы тетрацена и перилена существенно различаются. Оптический спектр кристаллов (и пленок) тетрацена [3, 4] аналогичен спектру молекул тетрацена в растворе [5] и не содержит особенностей, отражающих какие-либо специфические межмолекулярные взаимодействия. Напротив, оптический спектр перилена в твердой фазе резко отличен от спектра раствора перилена [4–6], кристаллы имеют димерную структуру и обнаруживают эксимерную флуоресценцию [6, 7]. Именно на таком кристалле, как перилен, должны обнаруживаться межмолекулярные оптические переходы в полярные состояния [6] с помощью штарковской спектроскопии, нечувствительной к «фону сильного поглощения» с образованием нейтральных экситонов Френкеля.

Эксперимент

Тетрацен, использованный в данной работе, очищался двухкратной вакуумной сублимацией; перилен — фильтрованием через слой Al_2O_3 с последующей перекристаллизацией.

Пленки для штарковских измерений наносились на кварцевую подложку, покрытую слоем SnO_2 , испарением в вакууме 10^{-5} тор. Толщина

пленок (d) измерялась на микроинтерферометре Линника, оптическая плотность (D) на спектрофотометрах Hitachi EPS-3T или «Сагу 17». В последнем случае велась одновременная запись спектра производной оптической плотности по длине волны ($dD(\lambda)/d\lambda$). После измерения параметров d , D и $dD(\lambda)/d\lambda$ на пленки наносился полуупрозрачный алюминиевый электрод и таким образом получался «сэндвич», пригодный для измерений электропоглощения (точнее электропропускания) $\Delta T/T$.

Измерение спектров $\Delta T/T$ осуществлялось с помощью модуляционной методики с применением ксеноновой лампы ДКСП-200, монохроматора ЗМР-3 с разрешением 6–12 Å, фотоумножителя ФЭУ-64 и избирательной схемы усиления с фазочувствительным детектором. На образцы подавалось напряжение с частотой 280 Гц, регистрация сигнала осуществлялась на двойной частоте 560 Гц. Более подробно методика измерений описана в [8].

Результаты для тетрацена

Спектр оптической плотности пленки тетрацена толщиной 0.14 мкм в области 1-го синглетного перехода в состояние B_{2u} приведен на рис. 1, где на вставке изображена схема соответствующих энергетических уровней. Максимумы поглощения света 505, 473, 442, 418 нм (волновые числа соответственно $\nu_0=19\ 800$, $\nu_1=21\ 140$, $\nu_2=22\ 620$, $\nu_3=23\ 920$ см⁻¹) воспроизводятся (так же как и результаты штарковских измерений) для пленок различной толщины от 0.12 до 0.37 мкм, соответствуют усредненным давыдовским дублетам в спектрах поглощения монокристаллов тетрацена [3] и связаны с переходами на различные колебательные подуровни состояния B_{2u} . Спектральное положение самого длинноволнового максимума зависит от толщины пленки, по-видимому, связано со структурными дефектами или поверхностью образцов [9]. Кривая $\Delta T/T$ на рис. 1 отражает спектральный ход эффективного значения сигнала электропропускания пленки на частоте 560 Гц при напряжении на пленке $U_{\text{эф}}.$ (280 Гц)= -12 в. Нуевые точки спектра $\Delta T/T$ четко совпадают с максимумами спектра оптической плотности. Форма спектра $\Delta T/T$ для каждого отдельного пика поглощения хорошо описывается формой первой производной $dD(\lambda)/d\lambda$ к спектру оптического поглощения (рис. 2). Следовательно, все полосы под действием поля сдвигаются в длинноволновую сторону, однако величина этого сдвига несколько различна для разных полос. Это видно из рассмотрения вставки к рис. 2, где величина $\Delta T/T$ отложена графически в зависимости от параметра $\lambda(D+\lambda dD/d\lambda)$ отдельно для каждой из трех колебательных полос первого синглета.

В соответствии с теорией электрохромизма [10] линейная зависимость $\Delta T/T$ от указанного параметра означает, что молекула тетрацена при электронном переходе изменяет только свою поляризуемость (α) на величину $\Delta\alpha$, а изменения дипольного момента ($\Delta\mu$) не происходит ($\mu=0$ как в основном, так и во всех рассматриваемых возбужденных состояниях). Формула, связывающая среднюю по всем координатным направлениям величину $\overline{\Delta\alpha}$ молекулы тетрацена с сигналом электропропускания, получена из [10] с учетом геометрии наших образцов, отсутствия ориентационных явлений в твердом теле и наблюдения сигнала на двойной частоте (2 ω) приложенного поля

$$\frac{\Delta T_{\text{эф.}}(2\omega)}{T} = \frac{1.15}{hc} \left(\frac{U_{\text{эф.}}^2(\omega)}{d^2 \sqrt{2}} \right) \left(\frac{\epsilon+2}{3} \right)^2 \overline{\Delta\alpha} \left(D + \lambda \frac{dD}{d\lambda} \right).$$

В этой формуле (система СГС) множитель $(\epsilon+2)/3$ происходит от учета локального поля, действующего на молекулу, в приближении Лоренца. При этом диэлектрическая постоянная (ϵ) определялась экспериментально по измерениям емкости образцов и находилась в пределах $3\frac{1}{4}$ для пленок разной толщины. Величина $\overline{\Delta\alpha}$ в формуле считается равной значению $(6\Delta\alpha - \Delta\alpha_m)/5$ в теории [10], где $\Delta\alpha_m$ — изменение поляризуемости молекулы вдоль той координаты, которая совпадает с направлением момента

оптического перехода. Строгий учет анизотропии молекулы в данном случае смысла не имеет, так как вследствие некоторой неоднородности поля в пленке (разные ϵ для разных толщин!) точность определения абсолютной величины $\Delta\alpha$ невысока ($\approx 30\%$). Однако с хорошей точностью ($\approx 5\%$) можно провести относительное сопоставление величин $\Delta\alpha$ для различных полос поглощения одного и того же образца. Результаты соот-

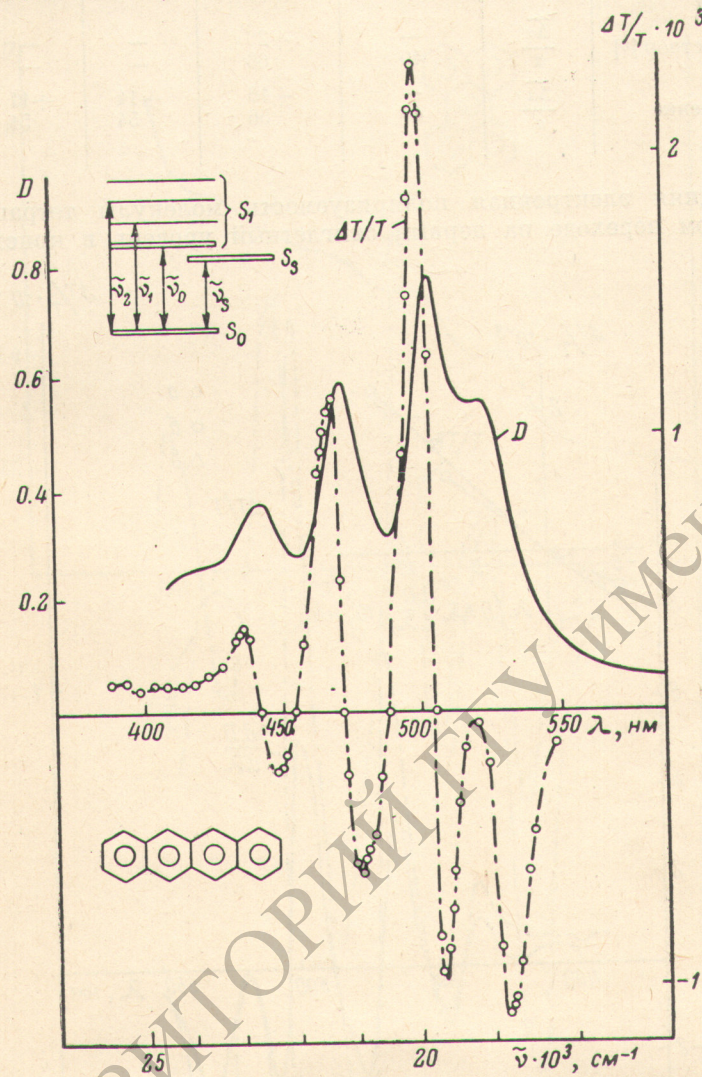


Рис. 1. Оптическая плотность и спектр эффекта Штарка $\Delta T/T$ пленки тетрацена толщиной 0.14 мкм в зависимости от длины волны λ .

В нижнем углу — формула молекулы тетрацена, в верхнем — схема энергетических уровней ($\nu_8 = 19\ 120$, $\nu_0 = 19\ 800$, $\nu_1 = 21\ 140$, $\nu_2 = 22\ 620$ см $^{-1}$).

всегда соответствующих расчетов (средние по трем образцам разной толщины) приведены в таблице, причем данные для растворов взяты из [5], а величина α для основного состояния молекулы в кристалле принята равной аналогичной величине для молекулы в растворе. Для состояния, обусловленного дефектами (или поверхностью) пленки, величина $\Delta\alpha$, как и энергетическое положение уровня, сильно зависит от толщины пленки и увеличивается примерно от $10 \cdot 10^{-24}$ до $20 \cdot 10^{-24}$ см $^{-3}$ с ростом толщины от 0.14 до 0.37 мкм.

Результаты исследования эффекта Штарка в пленках тетрацена позволяют сделать несколько новых заключений.

Средние поляризуемости основного (S_0) и трех колебательных состояний (0, 1, 2,) первого синглетного возбуждения (S_1) молекулы тетрацена (в ед. 10^{-24} см³)

		S_0	S_1^0	S_1^1	S_1^2
Раствор [5]	$\frac{\Delta\alpha}{\alpha}$	—	+26 66	—	—
Пленка	$\frac{\Delta\alpha}{\alpha}$	40	+16 56	+14 54	+11 51

а. Средняя электронная поляризуемость молекулы тетрацена при электронном переходе на первый синглетный уровень в кристалле из-

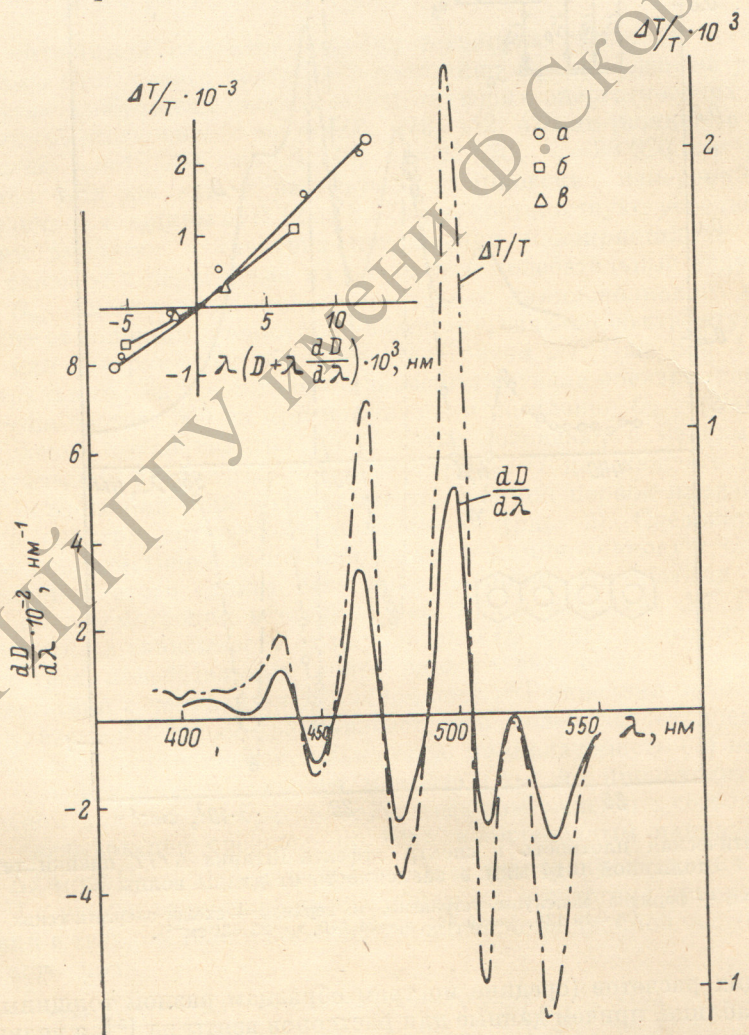


Рис. 2. Спектр эффекта Штарка (тот же, что и на рис. 1) и спектр первой производной $dD(\lambda)/d\lambda$ пленки тетрацена.

На вставке — график для расчета $\Delta\alpha$ для трех колебательных подуровней:
 а — S_1^0 , б — S_1^1 , в — S_1^2 .

меняется примерно на ту же величину ($\Delta\alpha \approx 15 \cdot 10^{-24}$ см³), что и для свободной молекулы ($26 \cdot 10^{-24}$ см³). Различие обусловлено главным образом выбором разной модели для расчета внутреннего поля (модель Ло-

рентца в нашем случае, Онзагера — в [5]). Предварительное значение $\overline{\Delta\alpha}$, приведенное нами в [11], является завышенным.

б. Поляризуемость электронно-возбужденной молекулы снижается [на $(2 \div 5) \cdot 10^{-24} \text{ см}^3$] при поглощении этой молекулой одного или двух внутримолекулярных фононов. По-видимому, это связано с тем, что полносимметричные колебания слегка нарушают систему сопряжения в моле-

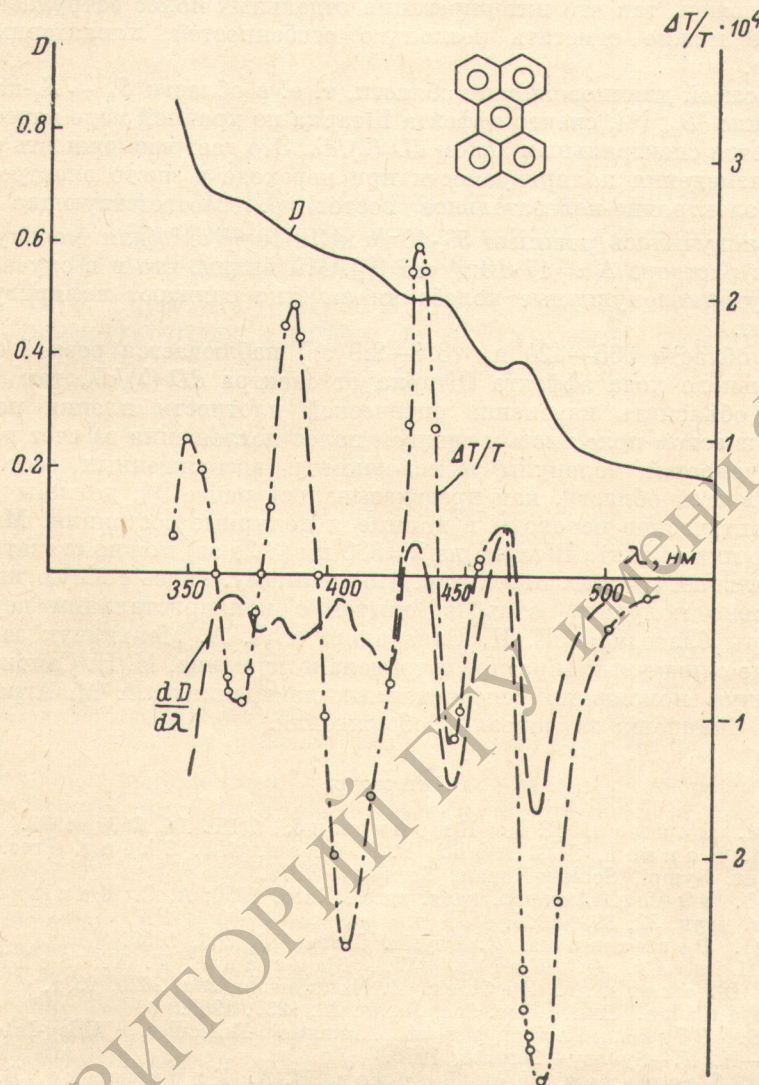


Рис. 3. Спектры оптической плотности, первой производной $dD(\lambda)/d\lambda$ и эффекта Штарка ($\Delta T/T$) пленки перилена, толщиной 0,44 мкм.

В верхнем углу — формула молекулы перилена. Кривая $\Delta T/T$ получена при напряжении на пленке 21 в.

куле тетрацена и вызывают уменьшение поляризуемости за счет той ее части, которая обусловлена сопряжением.

в. Явно выраженных полос эффекта Штарка, которые можно было бы связать с оптическими переходами в полярные состояния, в случае тетрацена не обнаружено. Оценка величины вероятности (или матричного элемента) перехода в состояние с переносом заряда, сделанная на основе чувствительности нашей методики в области 410—430 нм, т. е. там, где по данным [12] должны располагаться соответствующие полосы поглощения, показывает, что она примерно в 250 раз меньше вероятности (или матричного элемента) первого синглетного внутримолекулярного перехода.

Результаты для перилена

В отличие от тетрацена оптические спектры пленок перилена сильно зависят от условий приготовления образцов и, в частности, от толщины пленки. Для одного из образцов ($d=0.44$ мкм) спектральные кривые $D(\lambda)$, $dD(\lambda)/d\lambda$ и $\Delta T/T$ приведены на рис. 3. Спектр поглощения пленки весьма сложен, так что интерпретация отдельных полос затруднена. Тем не менее можно отметить несколько особенностей, характерных для перилена.

а. В самой длинноволновой области, т. е. в области $S_0 \rightarrow S_1$ -перехода в состояние ${}^1B_{2u}$ [6], спектр эффекта Штарка по крайней мере качественно описывается спектральным ходом $dD(\lambda)/d\lambda$. Это дает возможность сделать оценки изменения поляризуемости при переходе в чисто электронное и первое электронно-колебательное состояние. Соответствующие значения $\Delta\alpha$ получились равными $56 \cdot 10^{-24}$ и $31 \cdot 10^{-24}$ см³ (для молекулы перилена в растворе $\Delta\alpha=17 \cdot 10^{-24}$ см³ [5]). Мы видим, что и в случае перилена внутримолекулярные колебания заметно снижают поляризуемость молекулы.

б. В области 360—420 нм (3.4—2.9 эв) наблюдается резкое отличие спектрального хода эффекта Штарка от спектра $dD(\lambda)/d\lambda$, так что не удается объяснить изменение оптической плотности пленки перилена в электрическом поле чистым сдвигом полос поглощения за счет разности поляризуемостей молекулы в основном и возбужденных состояниях. Именно в этой области, как предсказывалось ранее [6], должны проявляться оптические переходы в ионные и полярные состояния. Мы полагаем, что пик эффекта Штарка на $\lambda=380$ нм (3.25 эв) можно связать с наиболее сильным из этих переходов. По-видимому, более точную информацию можно получить лишь из опытов с монокристаллами перилена.

Авторы благодарят Е. И. Балабанова и Л. А. Мельничук за представление очищенных образцов тетрацена и перилена, М. Н. Сапожникова за большую помощь при спектральных измерениях, В. М. Аграновича и Э. А. Силиньша за полезные обсуждения.

Литература

- [1] Л. М. Блинов, Н. А. Кириченко. ФТТ, 14, 2490, 1972.
- [2] D. M. Hanson, S. C. Abbé, F. P. Chen, S. J. Sheng. Proc. 6 Molec. Cryst. Symp., Schloss-Elmau, Germany, 1973.
- [3] А. Ю. Эйчис. Автореф. канд. дисс., Киев, 1950; А. С. Давыдов. Усп. физ. наук, 82, 393, 1964.
- [4] H. H. Perkampus. Z. Physik. Chem., 10, 206, 1959.
- [5] W. Liptay, G. Waltz, W. Baumann, H. Y. Schlosser, H. Deckers, N. Detzger. Z. Naturforsch., 26a, 2020, 1971.
- [6] J. Tanaka. Bull. Chem. Soc. Japan, 36, 1237, 1963.
- [7] J. B. Birks. Photophysics of Aromatic Molecules. Wiley-Interscience, L.—N. Y.—Sydney—Toronto, 1970.
- [8] Б. П. Беспалов, Л. М. Блинов, Н. А. Кириченко, В. Г. Румянцев. ЖСХ, 14, 662, 1973.
- [9] J. Katul, A. B. Zahlan. Phys. Rev. Lett., 6, 101, 1961.
- [10] В. Липтэй. Сб. «Современная квантовая химия», т. I. Изд. «Мир», М., 1968.
- [11] Л. М. Блинов, Н. А. Кириченко. Тез. докл. на XI Европ. Конгрессе по молекулярной спектроскопии, № 161. Таллин, 1973.
- [12] M. Ropre, J. Burgos, J. Giachino. J. Chem. Phys., 43, 3367, 1965.

Поступило в Редакцию 27 августа 1973 г.